

多重透過壁を有する堤体内の空気量の変動について

鳥取大学工学部 学生員 ○佐々木 謙二
鳥取大学工学部 正員 潤山 明
鳥取大学工学部 正員 木村 晃

本研究は、浮体構造物を利用して波力発電をめざしたものである。現在考えられる波力発電装置の中でも、最も大規模な発電が期待できるのは、空気タービン方式によるものである。その方法は、海面に籠を伏せたような空気室を開けておくと、波の谷が通過する際には空気室内の空気は圧縮され、逆に波の谷が通過する際には空気は膨張する。この空気の動きを利用してタービンを回転させ、発電しようとするものである。そこで、ここではこの方式に着目し、空気室の最適形状の決定、さらにこの構造物自体による消波効果も期待できるため、この面からも検討してゆこうとするものである。

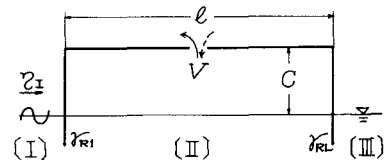
まず、第一段階として、図-1(a), (b), (c)に示すよう、1~3個の空気室を有する固定式の多重透過壁構造を考え、波の通過に伴う空気室内の空気量の変動、および構造物全体としての反射率、透過率の変化を理論的に検討する。

解析方法は、既に樋木らが用いている方法を応用した。すなわち、最も簡単な二重透過壁構造(空気室を一つ有する構造。以下、二重と略する。)の場合について説明すると、以下のようである。入射波は、図-1(a)の前面透過壁と後面透過壁の間の透水部で反復反射をする。その結果生じる各成分素波を重ね合わせると、図中[I], [II], [III]領域の水面波形 η_1 ~ η_3 が求まる。いま、静止時の空気室の海面からの高さをCとすれば、C- η_i を0とみなす区間で積分すると、任意の時刻 t における空気室内の空気量 V_i が計算できる。一方、同時ににおける空気室からの空気の出入量 \dot{V}_i は dV_i/dt で表わされる。ここで τ は入射波の時間周期 T を一周期とする正弦曲線を描く。したがって \dot{V}_i をこの範囲で積分すれば、一周期の間に空気室に出入りする空気量が求まる。ここではこの値を単位幅当たりの空気変動量 V とおく。なお、計算にあたっては、空気室内の圧力変化は水面波形に影響しないと仮定した。構造物全体としての反射率 R 、透過率 K は、それぞれ反射波成分を重ね合わせたときの波高と入射波高の比、透過波成分を重ね合わせたときの波高と入射波高の比で定義した。

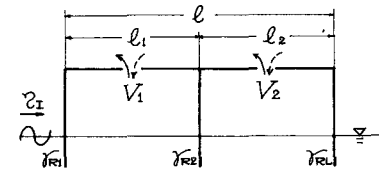
同様の手順で、三重透過壁構造(空気室を二つ有する構造。以下、三重と略する。)、四重透過壁構造(空気室を三つ有する構造。以下、四重と略する。)についても計算を行ない、それぞれ、 V 、 R 、 K の理論式をえた。具体的な数値計算に際しては、次のよう仮定をした。透過壁の壁厚は無視できるものとし、反射、透過の際の位相のズレはないとする。また、エネルギー法による波高の減衰はないとする。各透過壁の反射率と透過率の和は、流量保存則から1となる。

上記の仮定を用いて三重、四重の場合には各透水部長が等しい(三重の場合 $l_1 = l_2$ 、四重の場合 $l_1 = l_2 = l_3$)として計算を行なった結果、次のようなことがわかった。

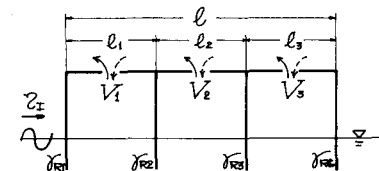
V については、二重の場合、 l/L (L :波長)を変化させると $l/L = 1$ を一周期とする変動をし、 $l/L = \frac{1}{2}N$,



(a) 二重透過壁型



(b) 三重透過壁型 ($V = V_1 + V_2$)



(c) 四重透過壁型 ($V = V_1 + V_2 + V_3$)

図-1 (注. η_i :入射波, η_r :反射率)

($N = 1, 2, 3, \dots$)に関して対称となる。したがって、 $\ell/L > \frac{1}{2}$ となる構造物は効率の点からみると意味がない。同じように三重の場合には $\ell/L = 2$ 、四重の場合には $\ell/L = 3$ を一周期とする変動をし、それぞれ $\ell/L = N$ 、 $\ell/L = \frac{3}{2}N$ に關して対称になるので、三重の場合には $\ell/L > 1$ 、四重の場合には $\ell/L > \frac{3}{2}$ となる構造物は考える必要がない。

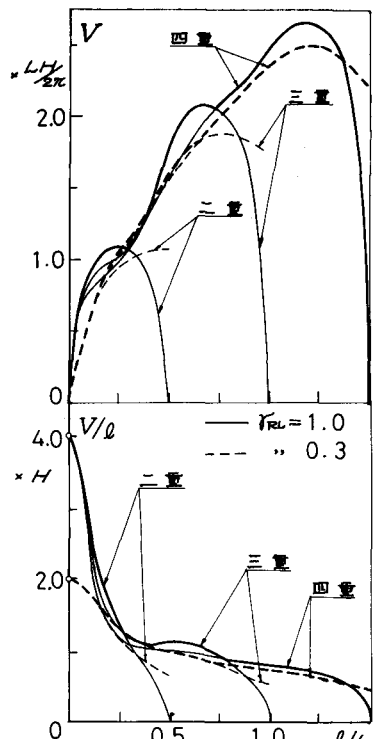
各透過壁の反射率、透過率の効果としては、特定の反射率に対して V が急激に増すといった現象はみられず、二重、三重、四重いずれの場合も、最終透過壁の反射率を大きくするほど、そしてそれ以外の透過壁の反射率を小さくするほど大きな V/ℓ （単位遮水部長当たりの空気変動量）の値をえることができる。また、二重から三重、四重にするにつれて、 V の最大値は大きくなることができるが、 V/ℓ であると必ずしも二重のものに比べて三重、四重のものがすぐれているといふわけではない。

図-2(a), (b)は、周期 T 、波長 λ 、波高 H が同一の入射波に対して、 γ_R を0.3, 1.0の二通りに分け、それ以外の透過壁の反射率はすべて0.3として、 V , V/ℓ , K_R^* , K_T^* の変化を図示したものである。 V/ℓ のグラフから、 $\gamma_R = 1.0$ の場合の二重のものが $0 < \ell/L < \frac{1}{2}$ の範囲で最もすぐれている。したがって、 $\gamma_R = 1.0$ の二重のものを、 $\ell/L < \frac{1}{2}$ の範囲におさえ、波の入射方向と直角方向に細長くした構造のものが効率がよい。 $\gamma_R = 0.3$ の場合は、 $\ell/L < \frac{1}{2}$ の範囲においても、二重、三重、四重のいずれも大差ではなく、かえつて二重よりも三重、四重のほうがすぐれている。 K_R^* , K_T^* は V の周期の $\frac{1}{2}$ を一周期とする変動をする。 K_R^* については、二重から三重、四重にするにつれて小さくすることができると言えてよい。 K_T^* は複雑な変動をするが、二重のものが小さい値をえやすいといつう長所を有するのに對し、三重、四重のものは比較的多くの広い範囲において低い値をえることができる。なお、 $\gamma_R = 1.0$ のときの K_T^* は、常に $K_T^* = 0$ になるのでグラフは省いてある。

今後の研究課題としては、次のようなことがあげられる。 γ_R を大きくできるのは、比較的浅い場所に限られるということ。水深による波の変形を考慮して最適形状を求めていくこと。浮体構造への転化を考えること。また、空気室内の圧力変化、透過、反射の際の位相のズレの効果、あるいはエネルギーロスの効果についても今後検討してゆく予定である。

参考文献

雄木喜、岩田好一郎：二重透過壁を有する船底消波岸壁の消波効果について。土木学会論文報告集 第262号,



(注：太線は効率のよいところを示す。)

図-2(a)

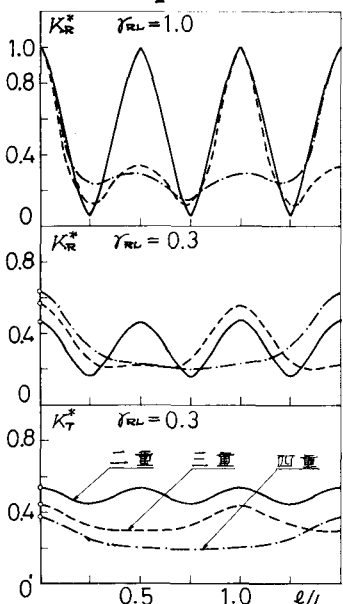


図-2(b)